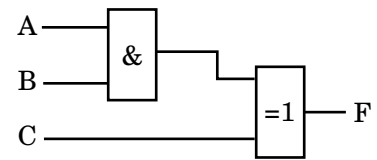


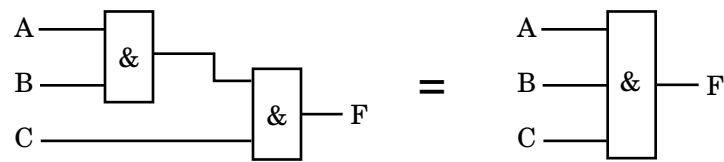
Hoofdstuk 4

Digitale techniek



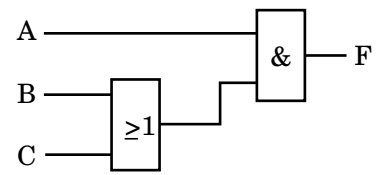
Figuur 4.1: Combinatorische schakeling.

Computersystemen en embedded systemen (LvM)



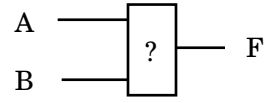
Figuur 4.2: Drie-input AND.

Computersystemen en embedded systemen (LvM)



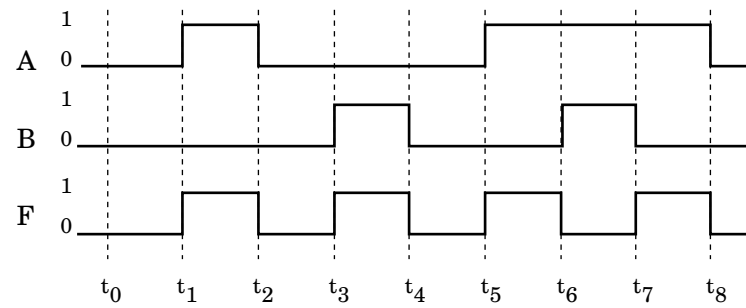
Figuur 4.3: Don't care voorbeeld

Computersystemen en embedded systemen (LvM)



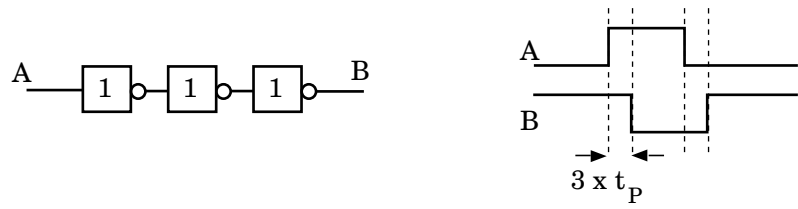
Figuur 4.4: Onbekende logische schakeling.

Computersystemen en embedded systemen (LvM)



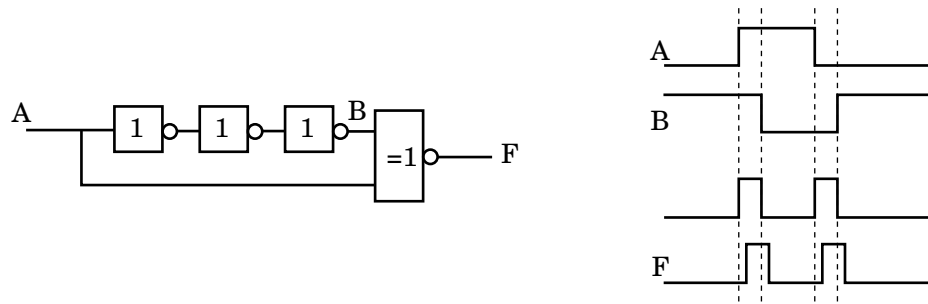
Figuur 4.5: Tijdsdiagram.

Computersystemen en embedded systemen (LvM)



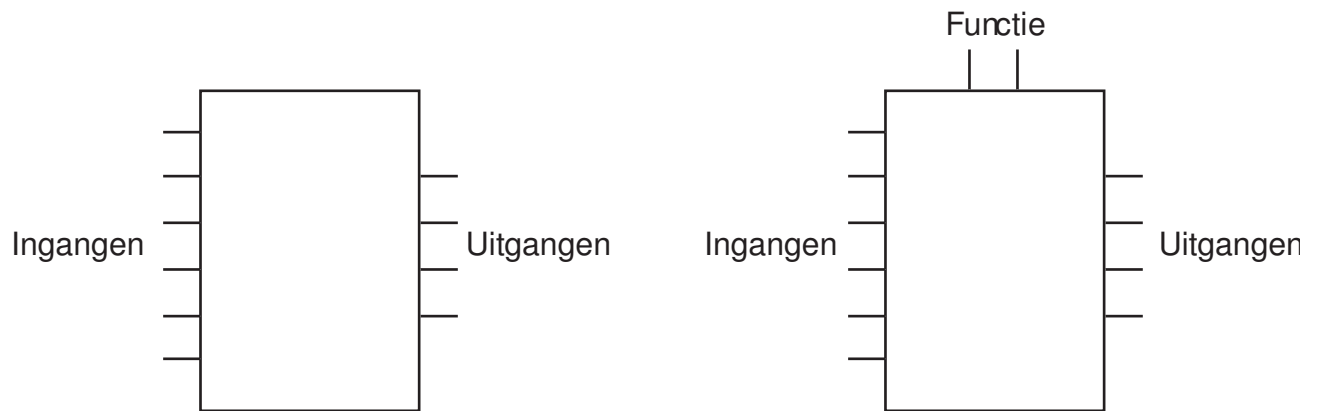
Figuur 4.6: Propagation delay van drie invertors.

Computersystemen en embedded systemen (LvM)



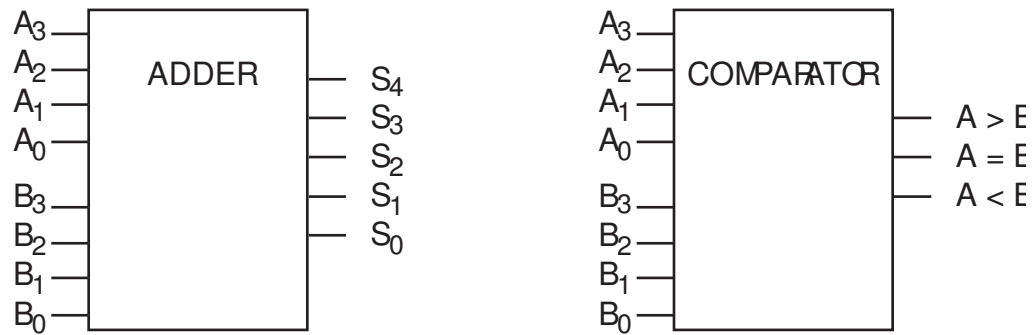
Figuur 4.7: Schakeling met glitches in het tijdsdiagram.

Computersystemen en embedded systemen (LvM)



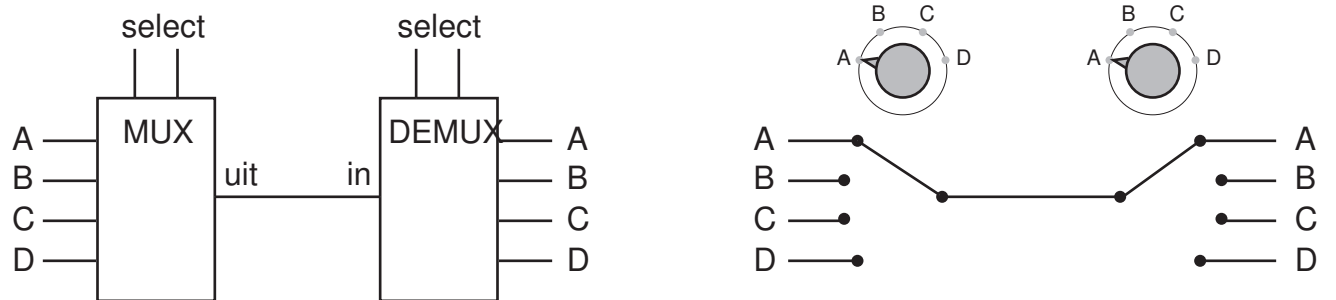
Figuur 4.8: Combinatorische schakelingen.

Computersystemen en embedded systemen (LvM)



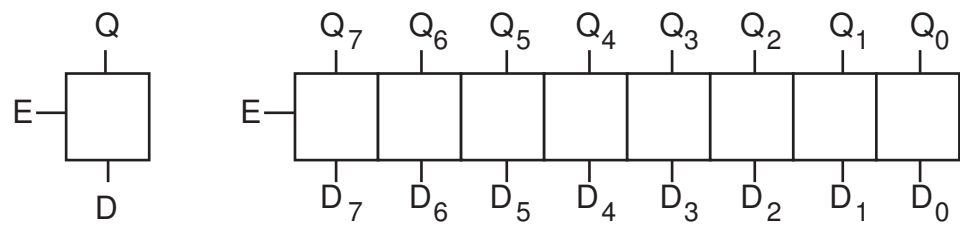
Figuur 4.9: Adder en comparator.

Computersystemen en embedded systemen (LvM)



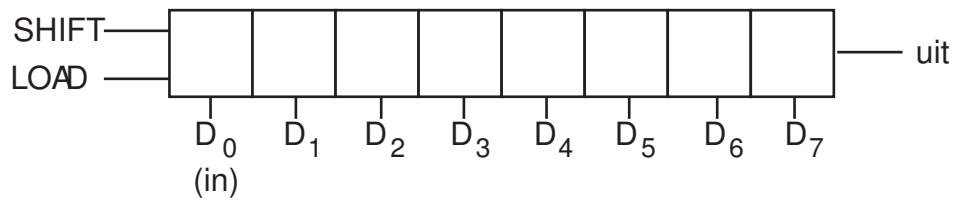
Figuur 4.10: Multiplexer en demultiplexer.

Computersystemen en embedded systemen (LvM)



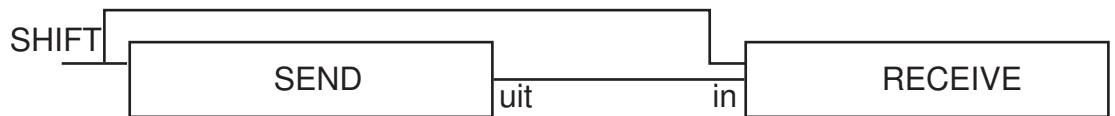
Figuur 4.11: 1-bits en 8-bits geheugenschakeling of register.

Computersystemen en embedded systemen (LvM)



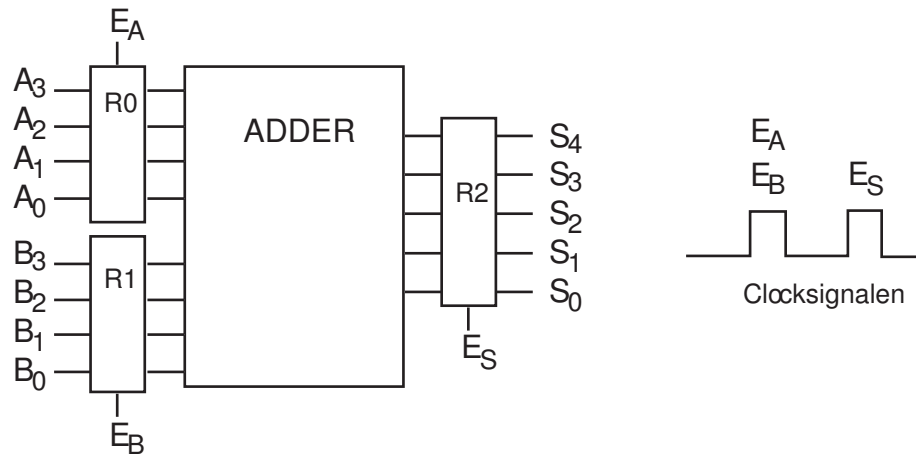
Figuur 4.12: 8-bits schuifregister.

Computersystemen en embedded systemen (LvM)



Figuur 4.13: Datatransport met twee schuifregisters.

Computersystemen en embedded systemen (LvM)



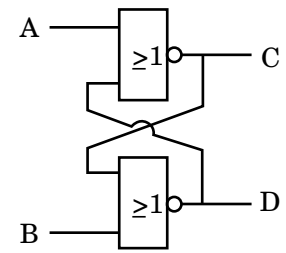
Figuur 4.14: Adder met geheugenelementen.

Computersystemen en embedded systemen (LvM)



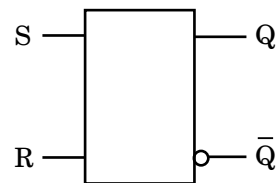
Figuur 4.15: Buffersymbolen.

Computersystemen en embedded systemen (LvM)



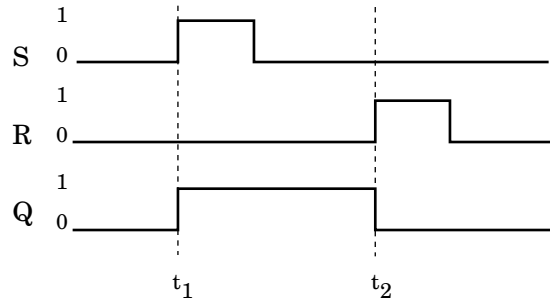
Figuur 4.16: Flipflop met NOR-gates.

Computersystemen en embedded systemen (LvM)



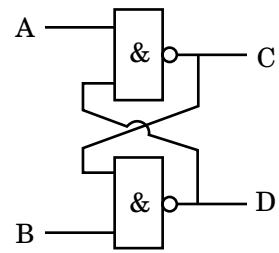
Figuur 4.17: Symbool van een RS-flipflop.

Computersystemen en embedded systemen (LvM)



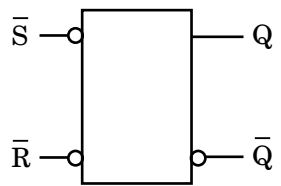
Figuur 4.18: Tijdsdiagram van een RS-flipflop.

Computersystemen en embedded systemen (LvM)



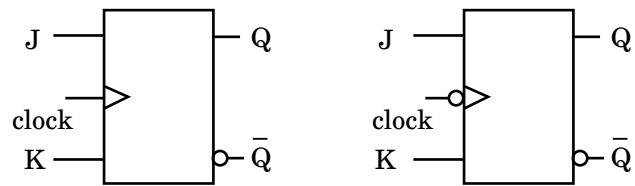
Figuur 4.19: Flipflop mat NAND-gates.

Computersystemen en embedded systemen (LvM)



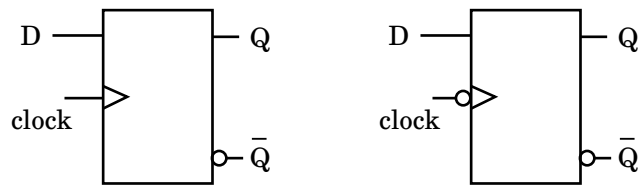
Figuur 4.20: Symbool $\bar{R}\bar{S}$ flipflop met active low inputs.

Computersystemen en embedded systemen (LvM)



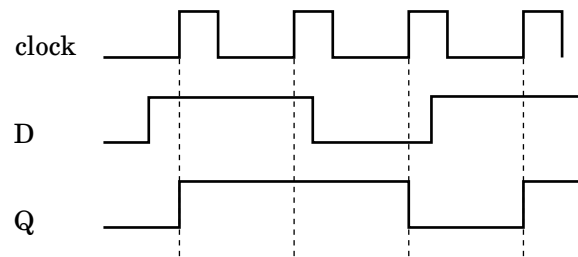
Figuur 4.21: Positieve (links) en negatieve (rechts) flanktriggering.

Computersystemen en embedded systemen (LvM)



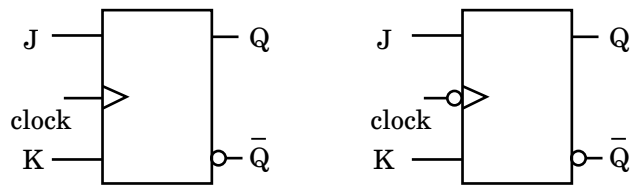
Figuur 4.22: Symbolen D-flipflop.

Computersystemen en embedded systemen (LvM)



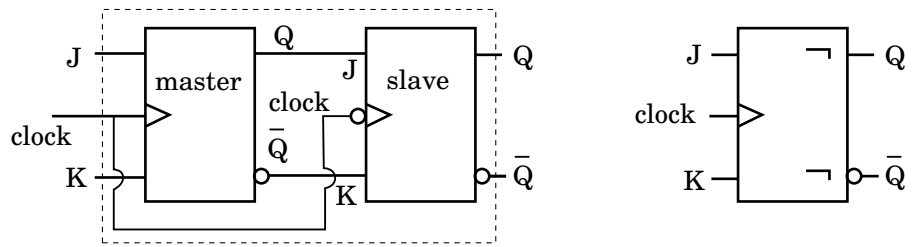
Figuur 4.23: Tijdsdiagram D-flipflop.

Computersystemen en embedded systemen (LvM)



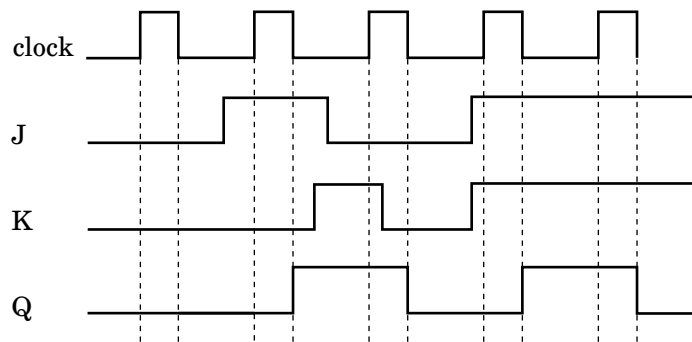
Figuur 4.24: JK-flipflop.

Computersystemen en embedded systemen (LvM)



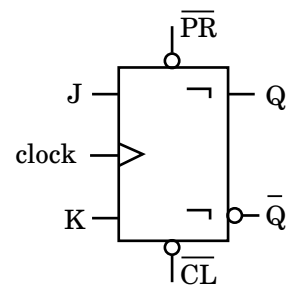
Figuur 4.25: Interne opbouw en symbool van een JK-MS-flipflop.

Computersystemen en embedded systemen (LvM)



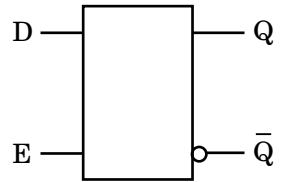
Figuur 4.26: Tijdsdiagram van een JK-master-slave-flipflop.

Computersystemen en embedded systemen (LvM)



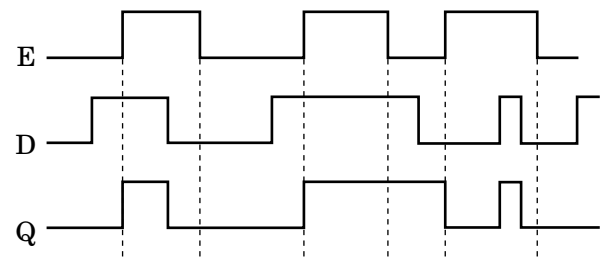
Figuur 4.27: JK-MS-flipflop met preset en clear.

Computersystemen en embedded systemen (LvM)



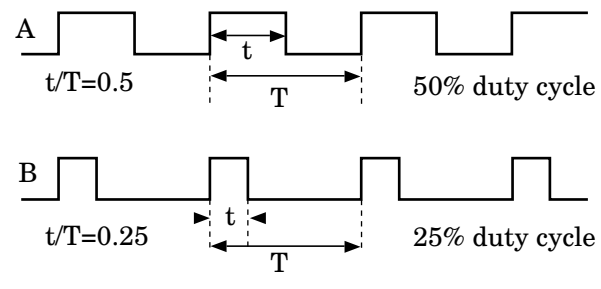
Figuur 4.28: Symbool D-latch.

Computersystemen en embedded systemen (LvM)



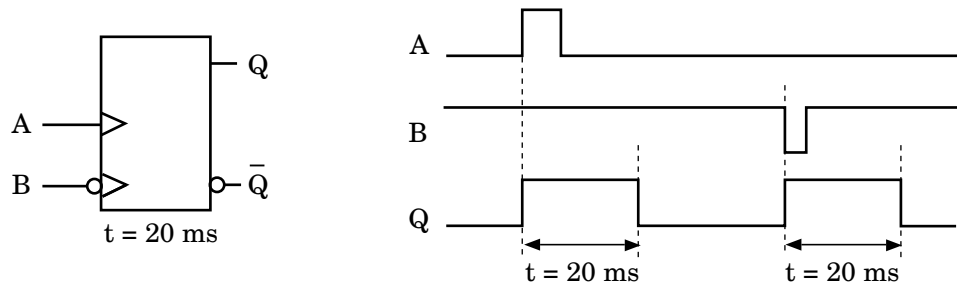
Figuur 4.29: Tijdsdiagram D-latch.

Computersystemen en embedded systemen (LvM)



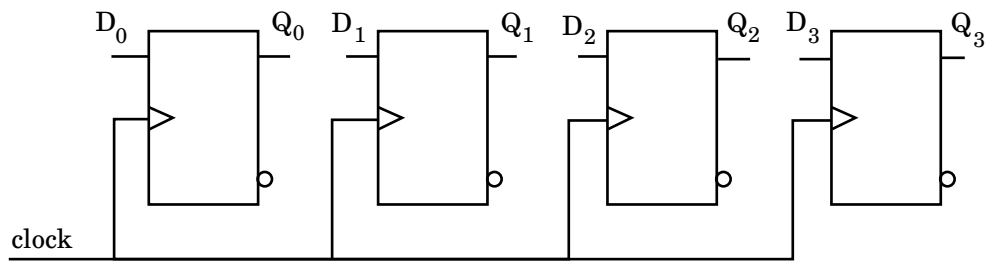
Figuur 4.30: Kloksignalen.

Computersystemen en embedded systemen (LvM)



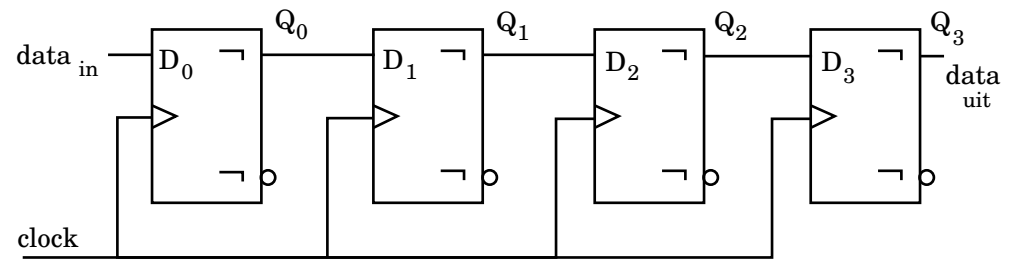
Figuur 4.31: Monostabiele multivibrator.

Computersystemen en embedded systemen (LvM)



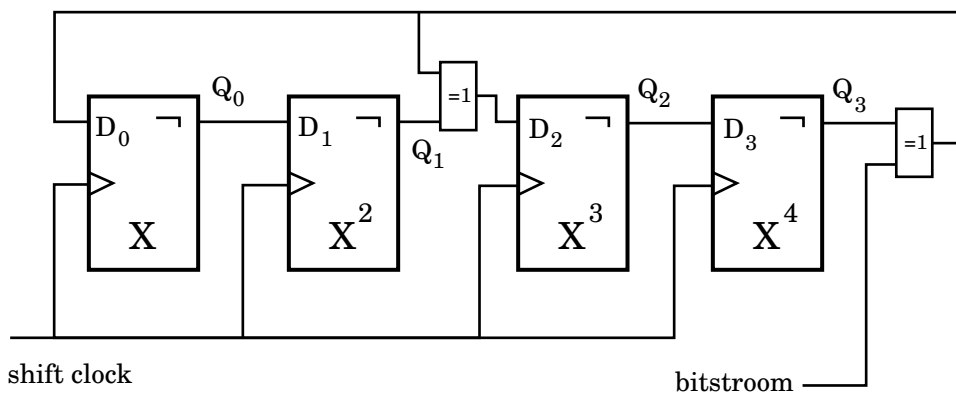
Figuur 4.32: 4-bits register.

Computersystemen en embedded systemen (LvM)



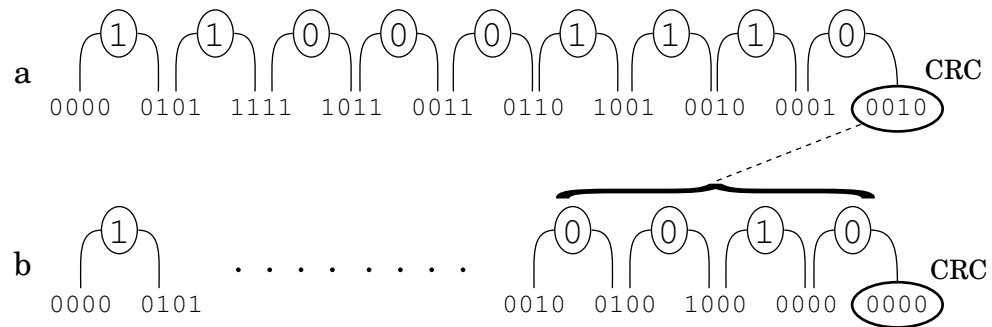
Figuur 4.33: Schuifregister.

Computersystemen en embedded systemen (LvM)



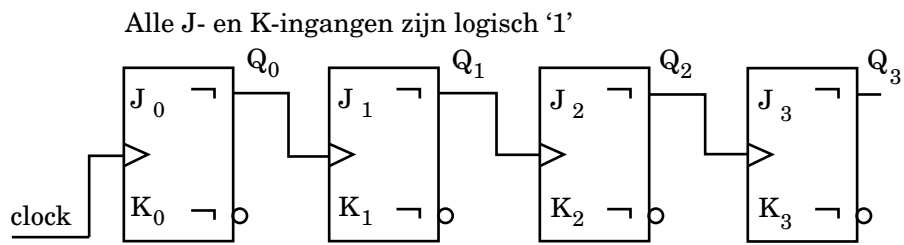
Figuur 4.34: CRC-hardware.

Computersystemen en embedded systemen (LvM)



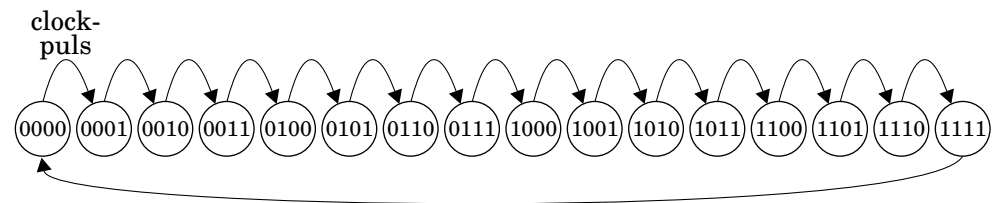
Figuur 4.35: CRC-genereren en CRC controleren.

Computersystemen en embedded systemen (LvM)



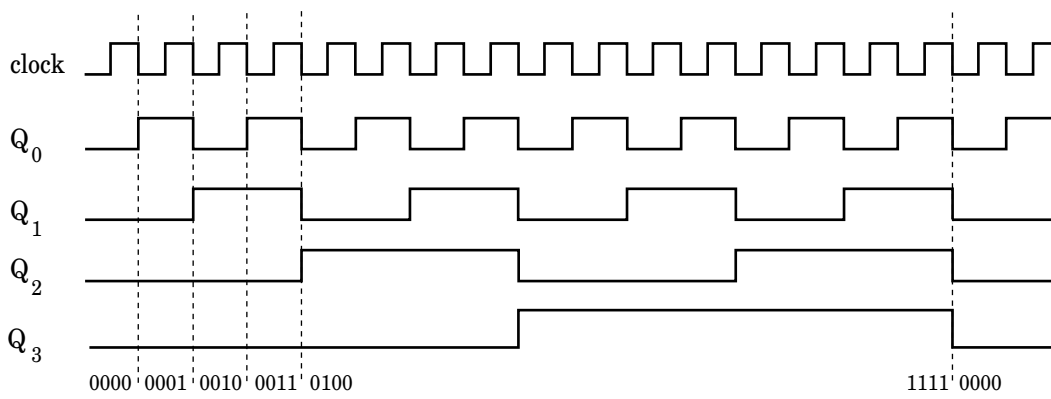
Figuur 4.36: Asynchrone ripple counter.

Computersystemen en embedded systemen (LvM)



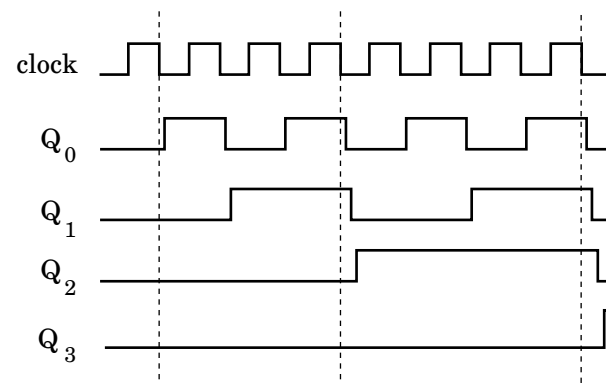
Figuur 4.37: Telsequentie van een 4-bits counter.

Computersystemen en embedded systemen (LvM)



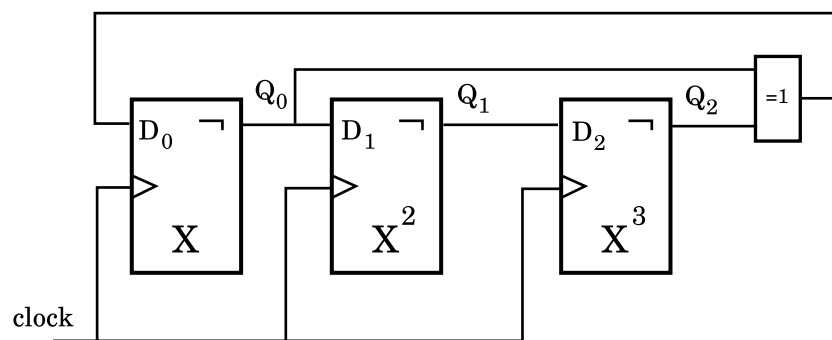
Figuur 4.38: Tijdsdiagram van een ripple counter zonder propagation delay.

Computersystemen en embedded systemen (LvM)



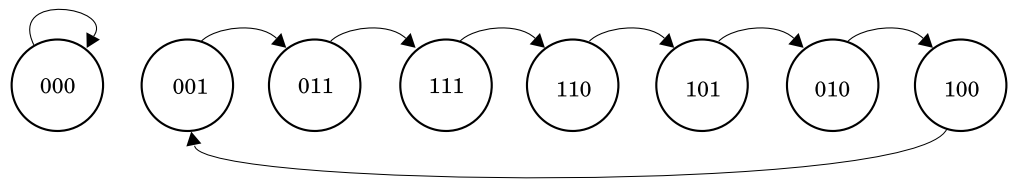
Figuur 4.39: Tijdsdiagram van een ripple counter met propagation delay.

Computersystemen en embedded systemen (LvM)



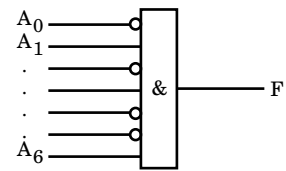
Figuur 4.40: 3-bits pseudo random number generator.

Computersystemen en embedded systemen (LvM)



Figuur 4.41: Codesequentie van een 3-bits PRNG.

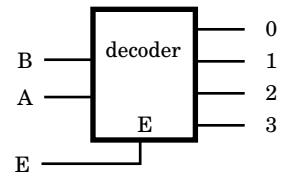
Computersystemen en embedded systemen (LvM)



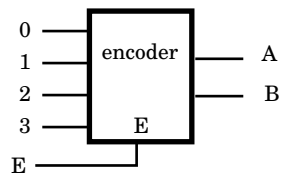
Figuur 4.42: Codedetector.

Computersystemen en embedded systemen (LvM)

] Computersystemen en embedded systemen (LvM)

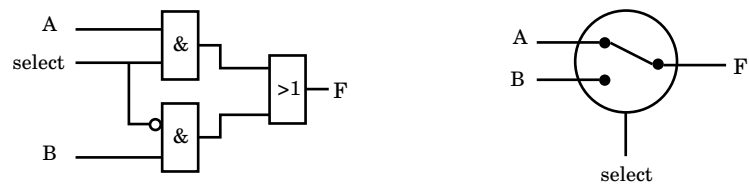


Figuur 4.43: Decoder met enable-ingang.



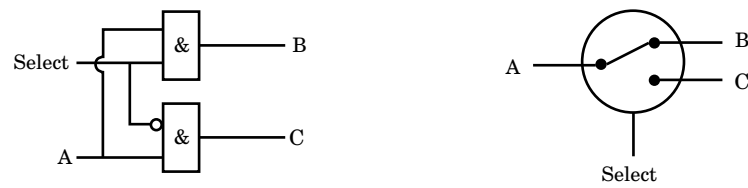
Figuur 4.44: Encoder.

Computersystemen en embedded systemen (LvM)



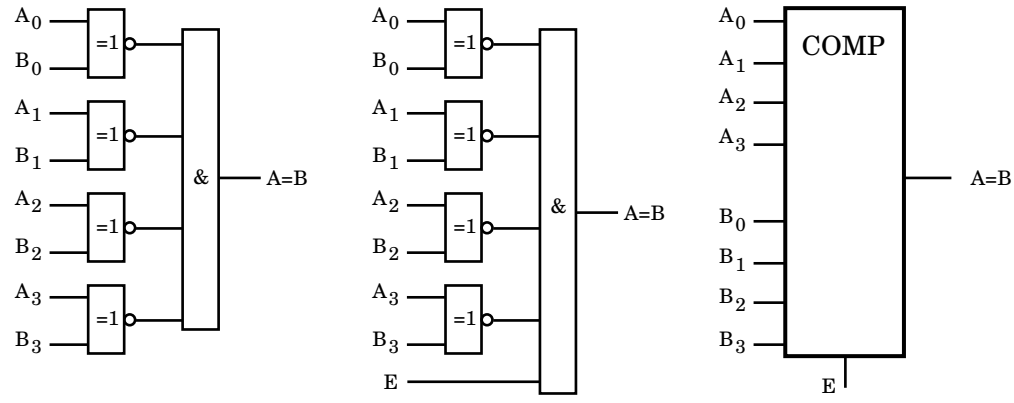
Figuur 4.45: 2-naar-1-multiplexer.

Computersystemen en embedded systemen (LvM)



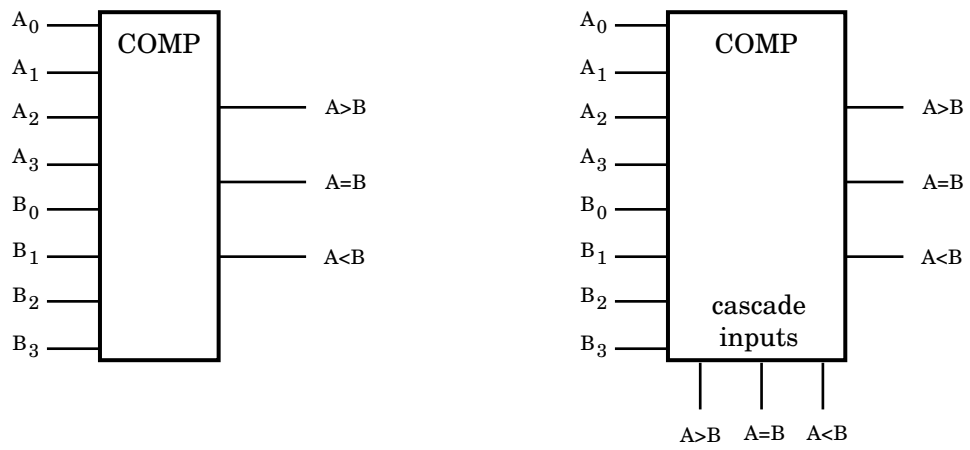
Figuur 4.46: 1-naar-2-demultiplexer.

Computersystemen en embedded systemen (LvM)



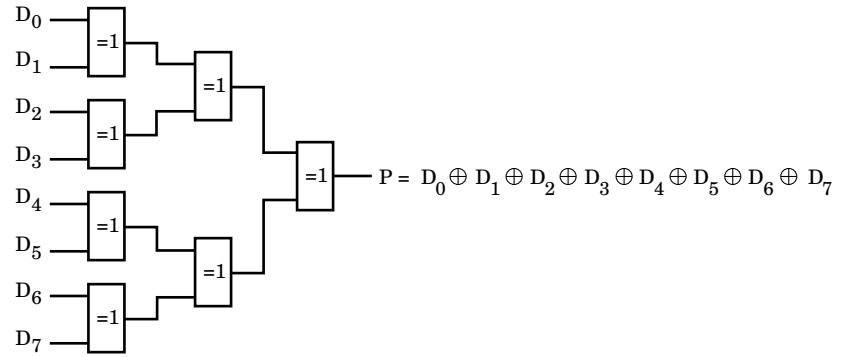
Figuur 4.47: Comparator, realisatie en symbool.

Computersystemen en embedded systemen (LvM)



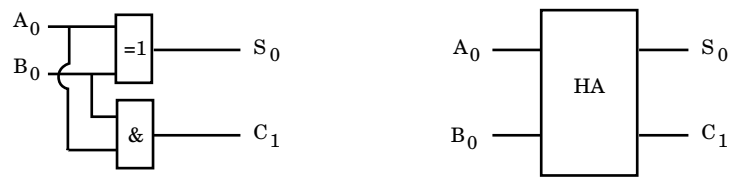
Figuur 4.48: Magnitude comparator.

Computersystemen en embedded systemen (LvM)



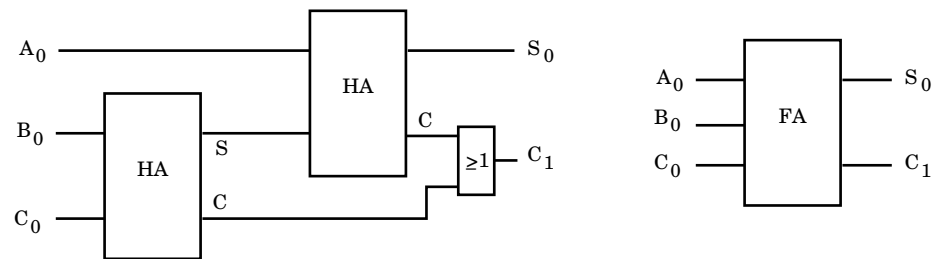
Figuur 4.49: Pariteitsboom.

Computersystemen en embedded systemen (LvM)



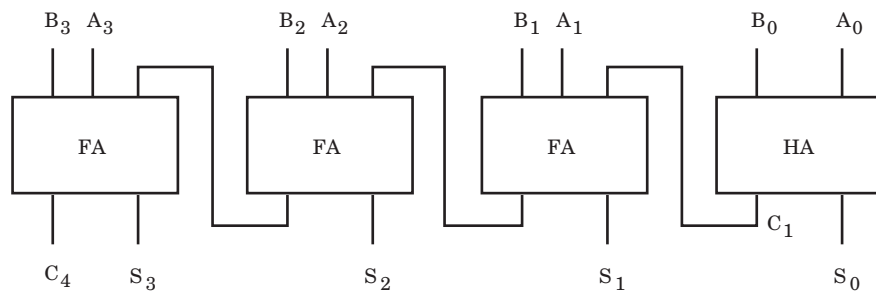
Figuur 4.50: Half adder.

Computersystemen en embedded systemen (LvM)



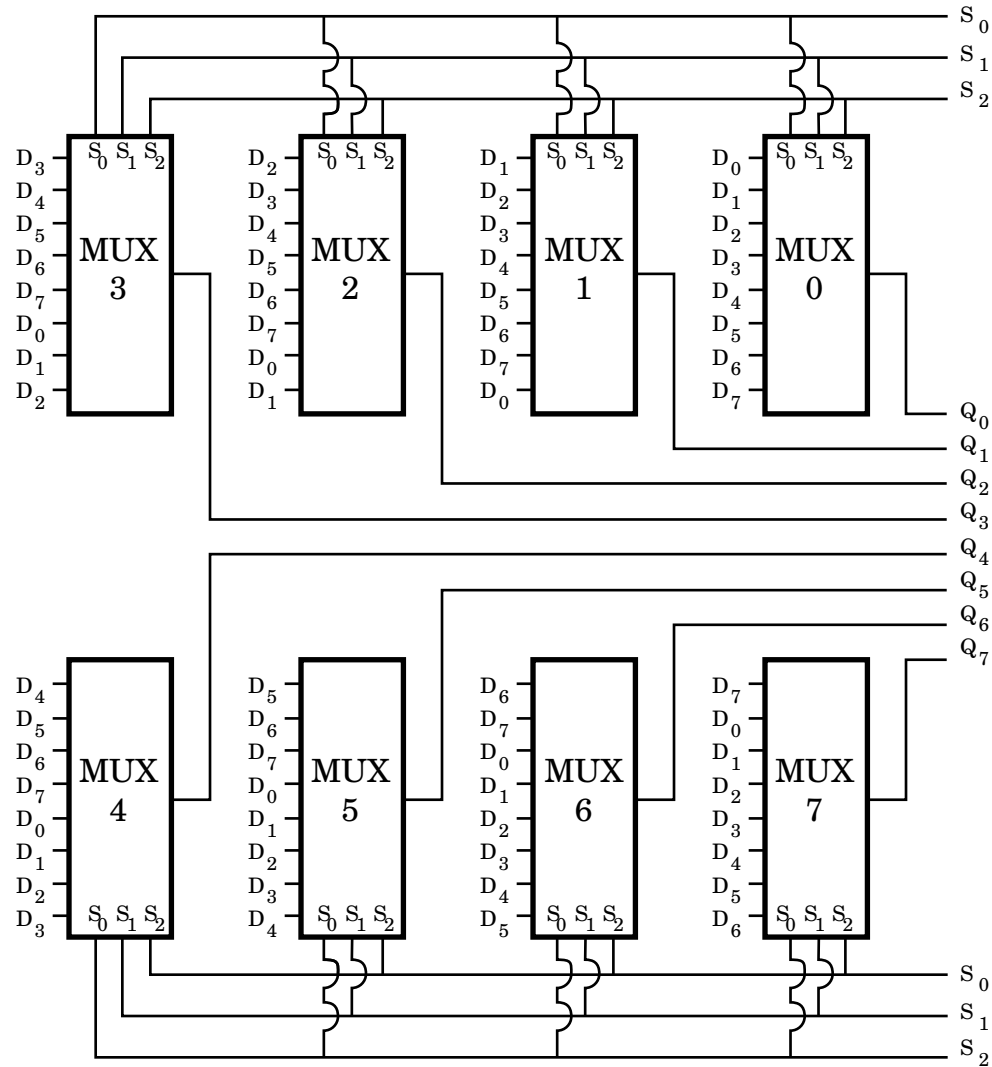
Figuur 4.51: Full adder.

Computersystemen en embedded systemen (LvM)



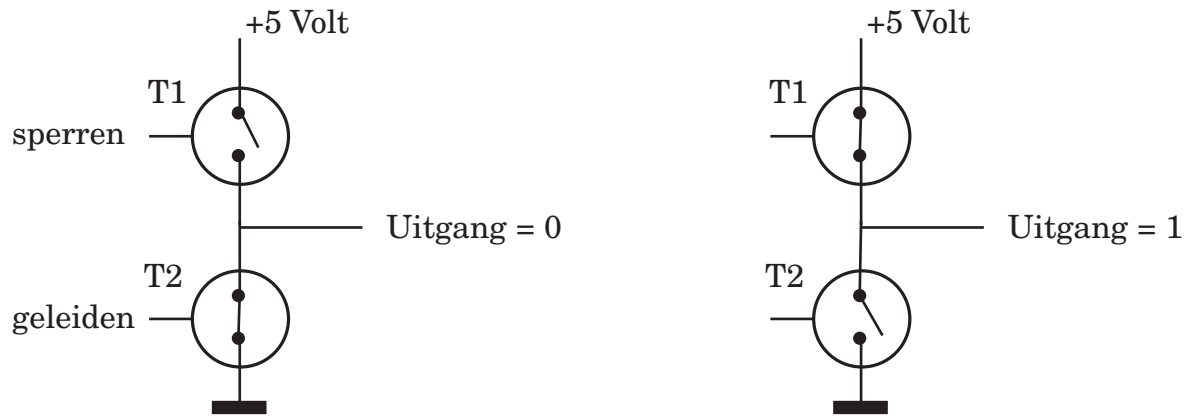
Figuur 4.52: Optelschakeling voor meer bits.

Computersystemen en embedded systemen (LvM)



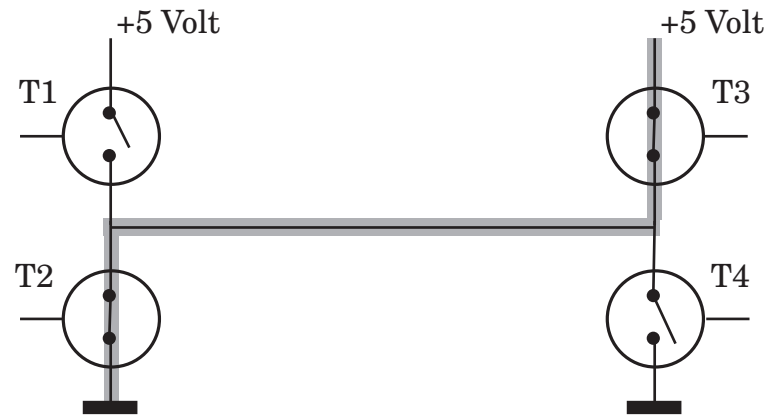
Figuur 4.53: Barrelshifter voor acht bits.

Computersystemen en embedded systemen (LvM)



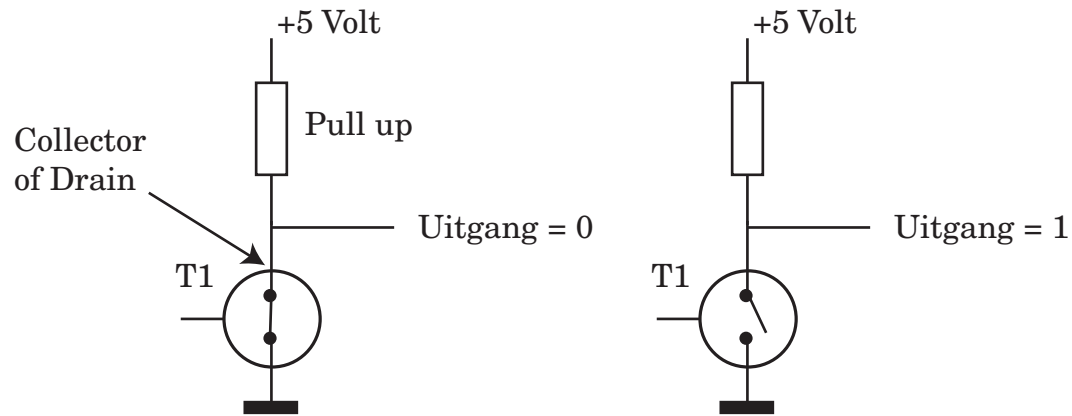
Figuur 4.54: Uitgangen van logische schakelingen.

Computersystemen en embedded systemen (LvM)



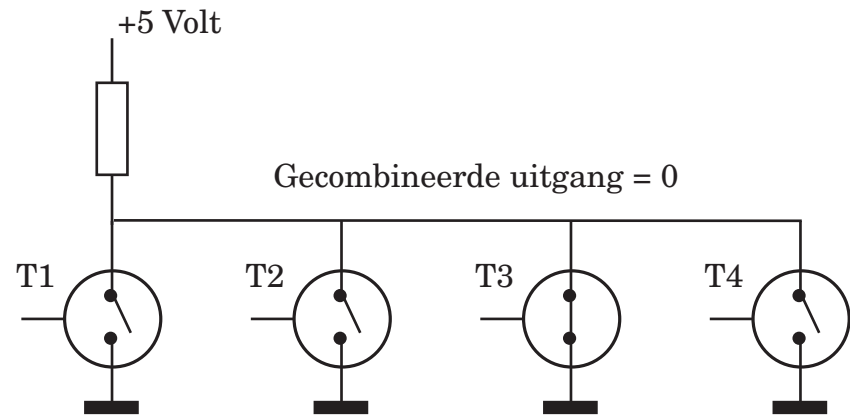
Figuur 4.55: Kortsluiting via T_1 en T_2 .

Computersystemen en embedded systemen (LvM)



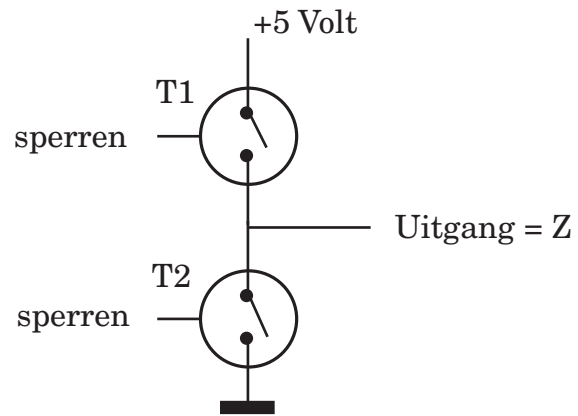
Figuur 4.56: Open collector uitgang met externe pull-up weerstand.

Computersystemen en embedded systemen (LvM)



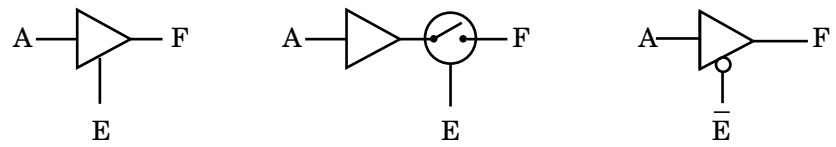
Figuur 4.57: Combinatie van vier uitgangen met één pull-up weerstand.

Computersystemen en embedded systemen (LvM)



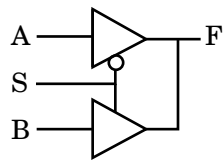
Figuur 4.58: Uitgang in niet-actieve toestand.

Computersystemen en embedded systemen (LvM)



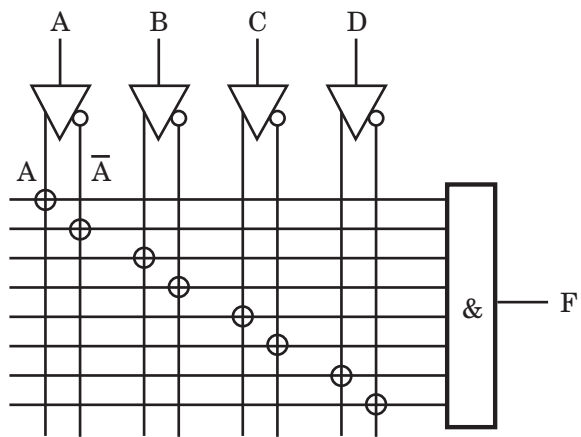
Figuur 4.59: Tristate buffer.

Computersystemen en embedded systemen (LvM)



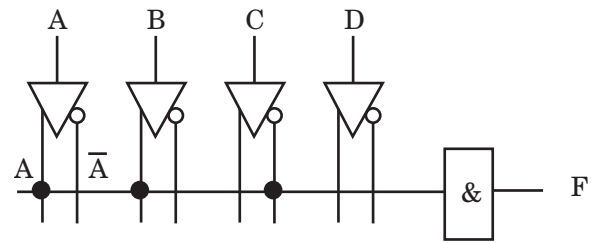
Figuur 4.60: Multiplexer met tristate buffers.

Computersystemen en embedded systemen (LvM)



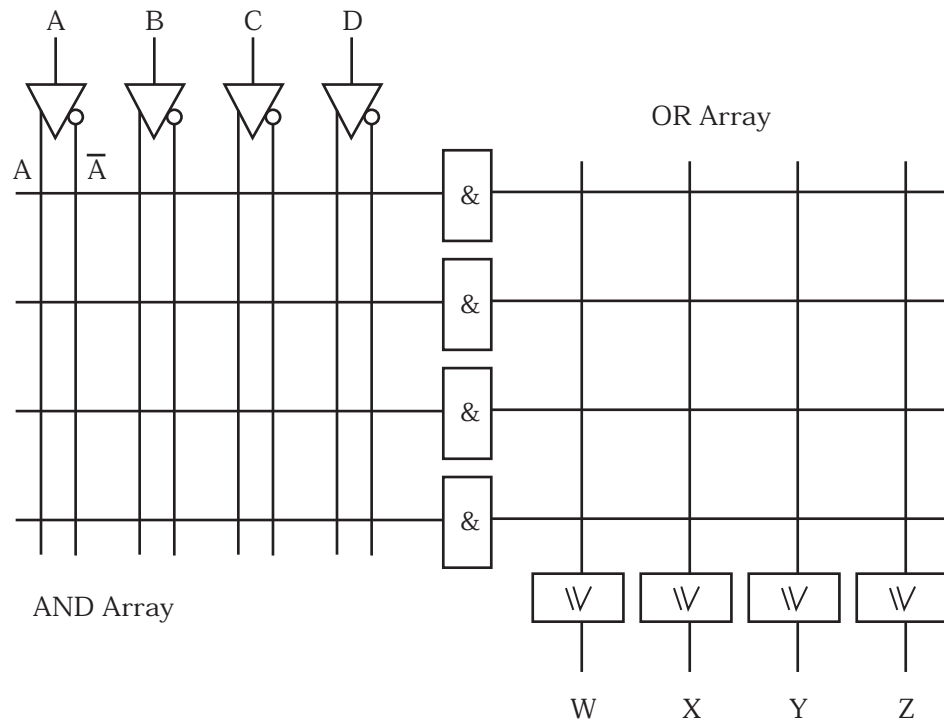
Figuur 4.61: Programmeerbaar array.

Computersystemen en embedded systemen (LvM)



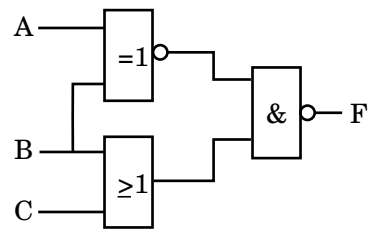
Figuur 4.62: Compacte weergave van een programmeerbaar array.

Computersystemen en embedded systemen (LvM)



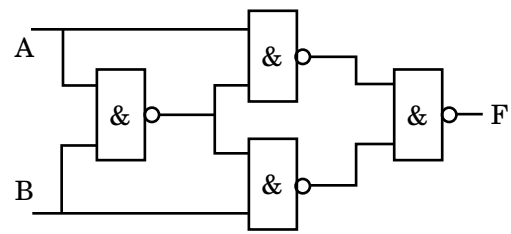
Figuur 4.63: Programmeerbaar AND- en OR-array.

Computersystemen en embedded systemen (LvM)



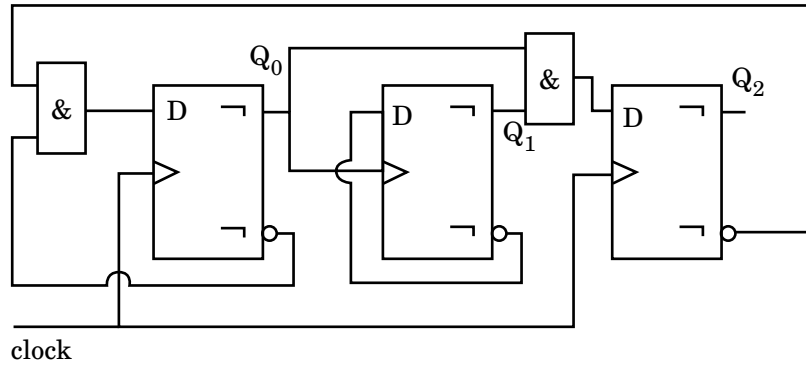
Figuur 4.64: Combinatorische schakeling.

Computersystemen en embedded systemen (LvM)



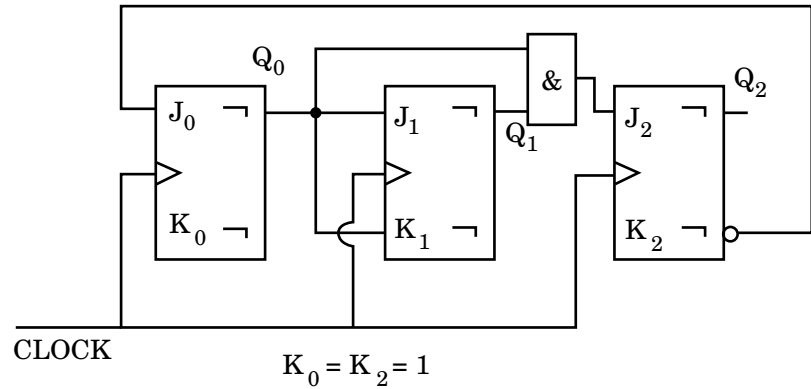
Figuur 4.65: Schakeling met NAND-gates.

Computersystemen en embedded systemen (LvM)



Figuur 4.66: Schakeling met D-flipflops.

Computersystemen en embedded systemen (LvM)



Figuur 4.67: Schakeling met JK-flipflops.

Computersystemen en embedded systemen (LvM)